

GM 5 :

Méthodes numériques avancées  
pour l'équation des ondes

Cours 1 :

Modèles classiques et premières techniques  
de discrétisation.

GM 5 Année 2021 - 2022

Contact : A. Tonnoir

[antoine.tonnoir@insa-rouen.fr](mailto:antoine.tonnoir@insa-rouen.fr)

# I. Introduction

---

Ce cours est une **introduction** à différentes méthodes pour la **simulation numérique de phénomènes liés aux ondes**.

Il s'appuie (notamment) sur les références suivantes :

① Le cours de E. Becache

« Schémas numériques pour l'équation des ondes »

② Le cours de S. Tordeux

« Analyse mathématiques des phénomènes de propagation d'ondes »

③ Le cours de P. Joly

« Introduction à l'analyse mathématiques des équations de Maxwell en régime transitoire »

# I. Introduction

## 1.1 Définition

Une équation d'ondes est une équation de la forme

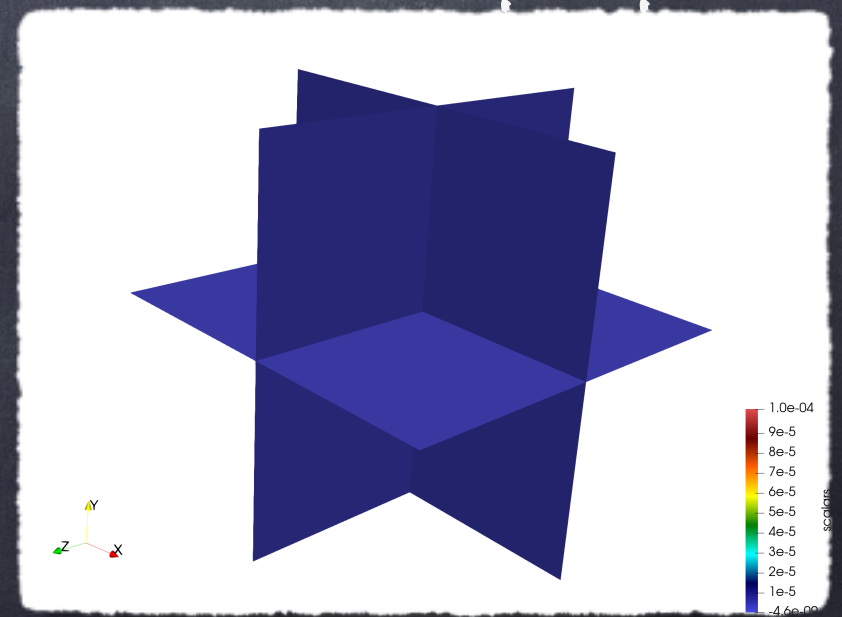
$$\partial_{tt}^2 \underline{u} + A \underline{u} = \underline{f}$$

où  $\underline{u} : \mathbb{R} \times \mathbb{R}^n \rightarrow \mathbb{R}^n$ , et  $A$  est un opérateur différentiel d'ordre 2 (positif) sur les variables d'espace.

### Exemple 1

L'équation de d'Alembert  $\partial_{tt}^2 u - \partial_{xx}^2 u = f$  décrit la propagation d'une onde le long d'une corde.

En dimension supérieure, elle décrit par exemple la propagation du son dans l'air.



# I. Introduction

---

## 1.1 Définition

Une équation d'ondes est une équation de la forme

$$\partial_{tt}^2 \underline{u} + A \underline{u} = \underline{f}$$

où  $\underline{u} : \mathbb{R} \times \mathbb{R}^n \rightarrow \mathbb{R}^n$ , et  $A$  est un opérateur différentiel d'ordre 2 (positif) sur les variables d'espace.

## Exemple 2

L'équation des ondes élastiques  $\partial_{tt}^2 \underline{u} - \operatorname{div} \sigma(\underline{u}) = \underline{f}$  décrit la propagation dans les solides.

On la retrouve typiquement en géophysique.



# I. Introduction

## 1.1 Définition

Une équation d'ondes est une équation de la forme

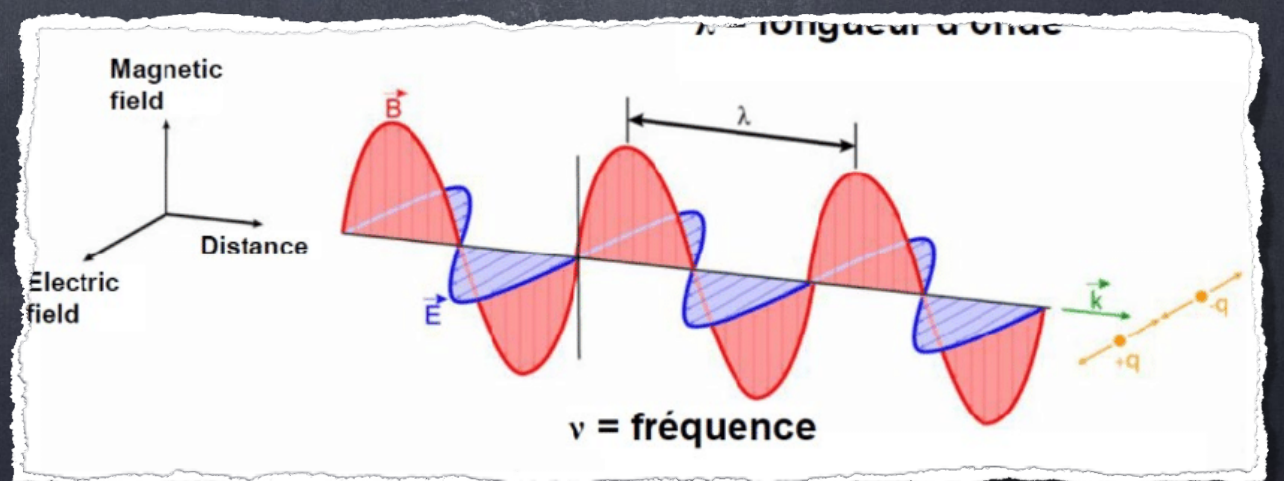
$$\partial_{tt}^2 \underline{u} + A \underline{u} = \underline{f}$$

où  $\underline{u} : \mathbb{R} \times \mathbb{R}^n \rightarrow \mathbb{R}^n$ , et  $A$  est un opérateur différentiel d'ordre 2 (positif) sur les variables d'espace.

### Exemple 3

Les équations des Maxwell décrivent la propagation des ondes électromagnétiques.

Elles servent par exemple dans la modélisation des radars.



# I. Introduction

---

## 1.1 Définition

Une équation d'ondes est une équation de la forme

$$\partial_{tt}^2 \underline{u} + A \underline{u} = \underline{f}$$

où  $\underline{u} : \mathbb{R} \times \mathbb{R}^n \rightarrow \mathbb{R}^n$ , et  $A$  est un opérateur différentiel d'ordre 2 (positif) sur les variables d'espace.

## Objectifs (Théoriques) :

- ① Montrer l'existence et l'unicité d'une solution
- ② Propriétés qualitatives de la solution

# I. Introduction

---

## 1.1 Définition

Une équation d'ondes est une équation de la forme

$$\partial_{tt}^2 \underline{u} + A \underline{u} = \underline{f}$$

où  $\underline{u} : \mathbb{R} \times \mathbb{R}^n \rightarrow \mathbb{R}^n$ , et  $A$  est un opérateur différentiel d'ordre 2 (positif) sur les variables d'espace.

Objectifs (Numériques) :

- ① Méthodes de discrétisation de l'EDP
- ① Résolution rapide et précise.

# I. Introduction

---

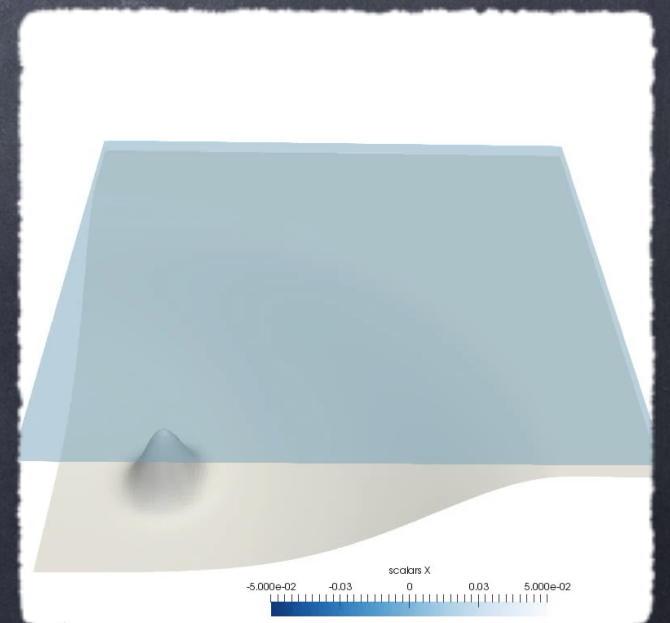
Dans la suite de ce cours, on s'intéressera principalement au modèle suivant :

$$\rho \partial_{tt}^2 \underline{u} - \operatorname{div}(\sigma \underline{\nabla} \underline{u}) = \underline{f}$$

où  $\rho$  et  $\sigma$  sont deux fonctions strictement positives caractérisant les propriétés du milieu.

Dans ce modèle,  $\underline{u}$  peut représenter (notamment) :

- ① La **pression** dans l'air (son).
- ② La **hauteur** d'une membrane vibrante ou d'une vague



# Au programme...

## Plan :

I. Introduction

II. Aspects théoriques

a) Le Théorème de Hille-Yosida

b) Propriétés de la solution

III. Méthodes de discrétisation

a) Les  $\theta$ -schémas

b) Propriétés des schémas

# II.a) Le théorème de Hille-Yosida

---

Notons par  $H$  un espace de Hilbert et  $A$  un opérateur linéaire de  $D(A) \subset H$  dans  $H$ .

## 2.1 Définition

On dira que l'opérateur  $A$  est maximal monotone ssi

- ⊙  $A+I$  est surjectif de  $D(A)$  dans  $H$
- ⊙  $\forall u \in D(A), (Au, u) \geq 0$

## Exemple

L'opérateur  $A = -\partial_{xx}^2$  de

$$D(A) = \left\{ u \in H^1(0,1), \text{ t.q. } \partial_x u(0) = \partial_x u(1) = 0 \right\} \subset H = L^2(0,1)$$

est maximal monotone.

# II.a) Le théorème de Hille-Yosida

---

Considérons alors le problème d'évolution :

Trouver  $U : t \in \mathbb{R}^+ \rightarrow U(t) \in \mathcal{D}(A)$  t.q. :  $\frac{d}{dt}U + AU = F$

muni de la condition initiale  $U(0) = U_0 \in \mathcal{D}(A)$ .

## 2.2 Définition

On appellera **solution forte** toute fonction  $U$  solution de l'équation dans  $C^1([0, T], H) \cap C^0([0, T], \mathcal{D}(A))$ , i.e :

- ① L'application  $t \rightarrow U(t)$  est dans  $C^1([0, T], H)$ ,
- ②  $\forall t \geq 0$ ,  $U(t)$  est dans  $\mathcal{D}(A)$ ,
- ③ L'application  $t \rightarrow AU(t)$  est dans  $C^0([0, T], \mathcal{D}(A))$ .

## II.a) Le théorème de Hille-Yosida

---

Considérons alors le problème d'évolution :

$$\text{Trouver } U : t \in \mathbb{R}^+ \rightarrow U(t) \in \mathcal{D}(A) \text{ t.q. } : \frac{d}{dt}U + AU = F$$

muni de la condition initiale  $U(0) = U_0 \in \mathcal{D}(A)$ .

### 2.3 Théorème de Hille-Yosida (admis)

S'il existe  $\lambda \in \mathbb{R}$  t.q.  $A + \lambda I$  soit maximal monotone, alors pour tout  $F \in C^1([0, T], H)$  le problème ci-dessus admet une unique solution forte.

Remarque : Dans le cas où  $A$  est un opérateur borné, on montre l'existence et l'unicité d'une solution forte à l'aide du Thm. De Cauchy-Lipschitz.

## II.a) Le théorème de Hille-Yosida

---

Application :

Considérons le problème suivant :

$$\left\{ \begin{array}{l} \rho \partial_{tt} \underline{u} - \operatorname{div}(\sigma \underline{\nabla} \underline{u}) = f \text{ dans } \Omega \\ \sigma \partial_\nu \underline{u} = 0 \text{ sur } \partial\Omega \end{array} \right.$$

avec comme condition initiale  $\underline{u}(0, \cdot) = \underline{u}_0$  et  $\partial_t \underline{u}(0, \cdot) = \underline{v}_0$ .

En posant  $\underline{U} = (\underline{u}, \partial_t \underline{u})$ , on peut alors réécrire le problème ci-dessus ainsi :

$$\frac{d}{dt} \underline{U} + A \underline{U} = F$$

et appliquer le théorème de Hille-Yosida.

(détails au (vrai) tableau)

## II.b) Propriétés de la solution

Considérons le problème suivant :

$$\begin{cases} \rho \partial_{tt}^2 \underline{u} - \operatorname{div}(\sigma \underline{\nabla} \underline{u}) = f & \text{dans } \Omega \\ \sigma \partial_\nu \underline{u} = 0 & \text{sur } \partial\Omega \end{cases}$$

avec comme condition initiale  $\underline{u}(0, \cdot) = \underline{u}_0$  et  $\partial_t \underline{u}(0, \cdot) = \underline{v}_0$ .

### 2.4 Proposition (Identité d'énergie)

La solution du problème ci-dessus satisfait l'identité d'énergie suivante :

$$\frac{d}{dt} E(\underline{u}, t) = \left( f(t), \frac{d}{dt} \underline{u}(t) \right) \quad \text{où } E(\underline{u}, t) = \frac{1}{2} \left\| \frac{d}{dt} \underline{u}(t) \right\|_\rho^2 + \frac{1}{2} \left\| \underline{\nabla} \underline{u}(t) \right\|_\sigma^2$$

Remarque au: (voir tableau ! on notera que l'énergie est conservée. ■

## II.b) Propriétés de la solution

---

Considérons le problème suivant :

$$\left| \begin{array}{l} \rho \partial_{tt}^2 \underline{u} - \operatorname{div}(\sigma \underline{\nabla} \underline{u}) = f \text{ dans } \Omega \\ \sigma \partial_\nu \underline{u} = 0 \text{ sur } \partial\Omega \end{array} \right.$$

avec comme condition initiale  $\underline{u}(0, \cdot) = \underline{u}_0$  et  $\partial_t \underline{u}(0, \cdot) = \underline{v}_0$ .

### 2.5 Théorème (Propagation à vitesse finie, admis)

Si  $\underline{u}_0$ ,  $\underline{v}_0$  et  $f$  sont à support compact dans  $B(\underline{A}, r)$ ,  $r > 0$   
alors

$$\forall t \geq 0, \quad \operatorname{supp} \underline{u}(\cdot, t) \subset B(\underline{A}, r) + B(\underline{0}, tc^+)$$

où  $c^+ = \operatorname{supp} (\sigma/\rho)^{\frac{1}{2}}$ .

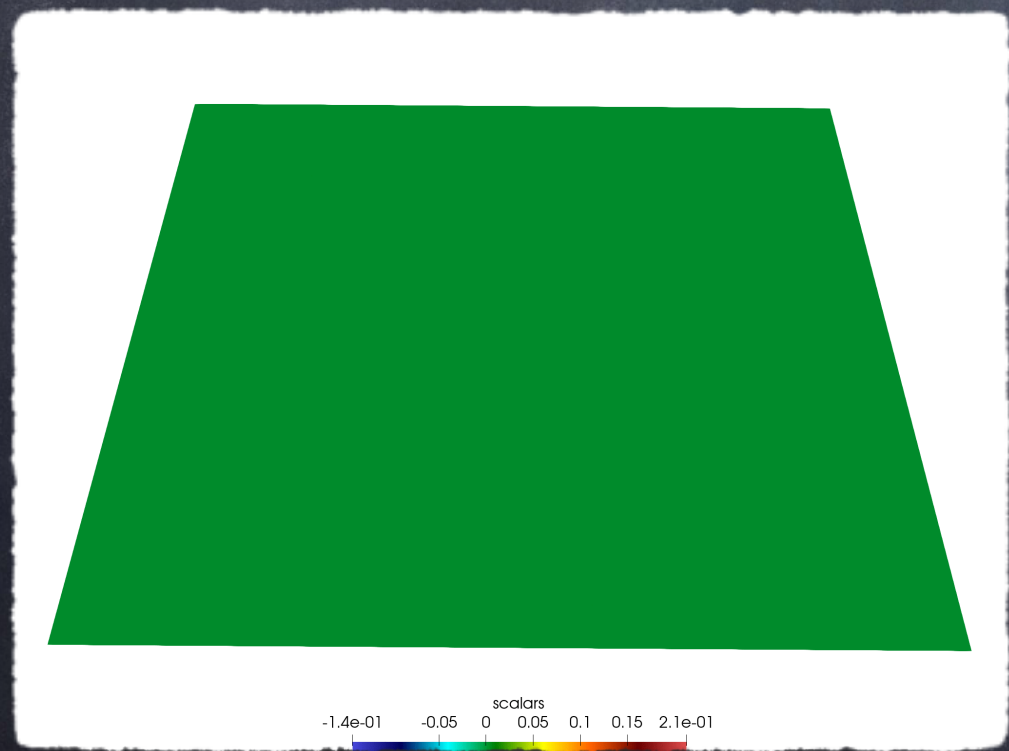
# II.b) Propriétés de la solution

Considérons le problème suivant :

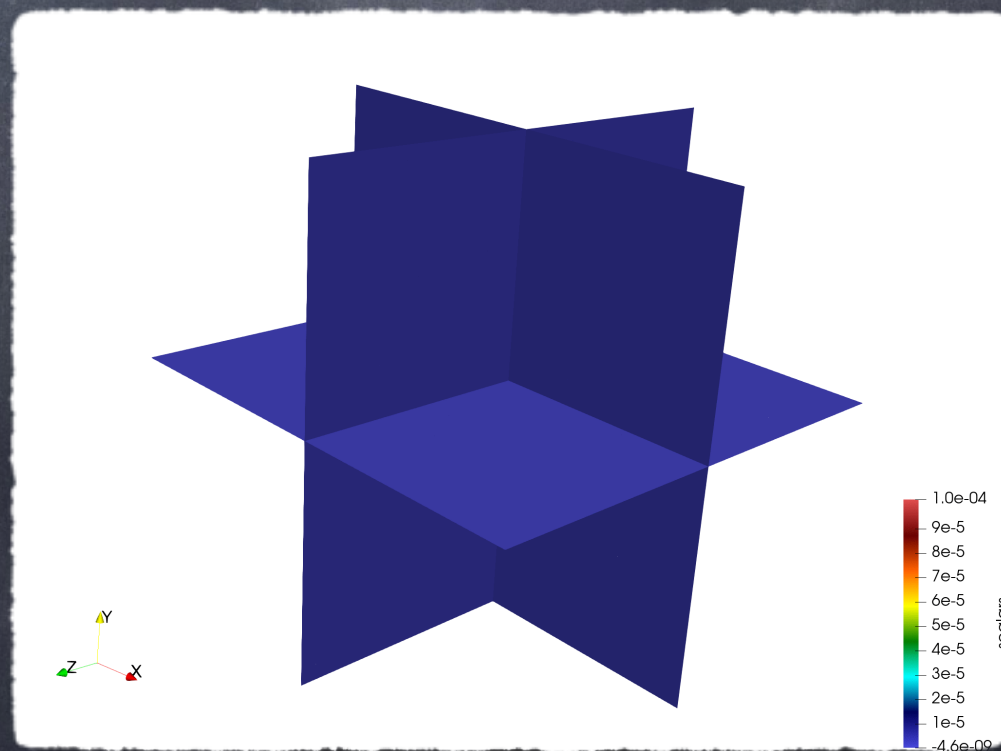
$$\left\{ \begin{array}{l} \rho \partial_{tt}^2 \underline{u} - \operatorname{div}(\sigma \underline{\nabla} \underline{u}) = f \text{ dans } \Omega \\ \sigma \partial_\nu \underline{u} = 0 \text{ sur } \partial\Omega \end{array} \right.$$

avec comme condition initiale  $\underline{u}(0, \cdot) = \underline{u}_0$  et  $\partial_t \underline{u}(0, \cdot) = \underline{v}_0$ .

Illustration de la propagation à vitesse finie :



EM 2D



EM 3D

## II.b) Propriétés de la solution

---

Considérons le problème **homogène** dans tout l'espace :

$$\partial_{tt}^2 \mathbf{u} - c^2 \Delta \mathbf{u} = 0 \quad \text{dans} \quad \mathbb{R}^n \quad (c^2 = \sigma/\rho)$$

### 2.6 Définition

On appelle **ondes planes** des solutions de l'équation ci-dessus de la forme  $U e^{i(\omega t + \underline{k} \cdot \underline{x})}$ .

### 2.7 Proposition (relation de dispersion)

Les ondes planes vérifient la relation de dispersion :

$$\omega^2 = c^2 \|\underline{k}\|_2^2$$

Remarque (Généralité) toute solution de l'équation homogène peut s'écrire comme la superposition d'ondes planes. ■

# Au programme...

## Plan :

I. Introduction

II. Aspects théoriques

a) Le Théorème de Hille-Yosida

b) Propriétés de la solution

III. Méthodes de discrétisation

a) Les  $\theta$ -schémas

b) Propriétés des schémas

## III.a) Les $\theta$ -schémas

---

Une approche classique pour discrétiser l'équation d'ondes :

$$\partial_{tt}^2 \underline{u} + A \underline{u} = \underline{f}$$

est la suivante :

- ① **discrétiser en espace** à l'aide d'une méthode EF, DF ou autre :

$$\partial_{tt}^2 M \underline{u} + K \underline{u} = M \underline{f}$$

**Exemple :** Pour le problème

	$\rho \partial_{tt}^2 \underline{u} - \text{div}(\sigma \underline{\nabla} \underline{u}) = \underline{f}$	dans	$\Omega$
	$\sigma \partial_\nu \underline{u} = 0$	sur	$\partial\Omega$

La discrétisation EF conduit à :

$$M_{ij} = \int_{\Omega} \rho \varphi_j \varphi_i d\Omega \quad \text{et} \quad K_{ij} = \int_{\Omega} \sigma \underline{\nabla} \varphi_j \cdot \underline{\nabla} \varphi_i d\Omega$$

## III.a) Les $\theta$ -schémas

---

Une approche classique pour discrétiser l'équation d'ondes :

$$\partial_{tt}^2 \underline{u} + A \underline{u} = \underline{f}$$

est la suivante :

- ① **discrétiser en espace** à l'aide d'une méthode EF, DF ou autre :

$$\partial_{tt}^2 M \underline{u} + K \underline{u} = M \underline{f}$$

- ② **puis discrétiser en temps** le système d'EDO, généralement avec une méthode DF ou RK, par exemple

$$M \frac{\underline{u}^{n+1} - 2\underline{u}^n + \underline{u}^{n-1}}{\Delta t^2} + K \underline{u}^n = M \underline{f}^n$$

# III.a) Les $\theta$ -schémas

---

## 3.1 Définition

Le  $\theta$ -schéma est défini comme suit

$$\mathbb{M} \frac{\underline{u}^{n+1} - 2\underline{u}^n + \underline{u}^{n-1}}{\Delta t^2} + \mathbb{K} (\theta \underline{u}^{n+1} + (1 - 2\theta) \underline{u}^n + \theta \underline{u}^{n-1}) = \mathbb{M} \underline{f}^n$$

Remarques :

- ① On notera que pour initialiser la suite de vecteur  $(\underline{u}^n)_n$  il faut  $\underline{u}^0$  et  $\underline{u}^1$  (obtenus à partir des données initiales  $\underline{u}^0$  et  $\underline{v}^0$ ).
- ② De plus, pour calculer  $\underline{u}^{n+1}$ , on vérifie facilement que la matrice  $\frac{\mathbb{M}}{\Delta t^2} + \theta \mathbb{K}$  est inversible,  $\forall \theta \geq 0$ .

# III.b) Propriétés des schémas

## 3.1 Définition

Le  $\theta$ -schéma est défini comme suit

$$\mathbb{M} \frac{\underline{u}^{n+1} - 2\underline{u}^n + \underline{u}^{n-1}}{\Delta t^2} + \mathbb{K} (\theta \underline{u}^{n+1} + (1 - 2\theta) \underline{u}^n + \theta \underline{u}^{n-1}) = \mathbb{M} \underline{f}^n$$

## 3.2 Proposition (Identité d'énergie discrète)

On a l'identité d'énergie suivante :

$$\frac{E_{\theta}^{n+1/2} - E_{\theta}^{n-1/2}}{2\Delta t} = \left( \mathbb{M} \underline{f}^n, \frac{\underline{u}^{n+1} - \underline{u}^{n-1}}{2\Delta t} \right) \quad \text{où}$$

$$E_{\theta}^{n+1/2} = \left\| \frac{\underline{u}^{n+1} - \underline{u}^n}{\Delta t} \right\|_{\mathbb{M}}^2 + \left\| \frac{\underline{u}^{n+1} + \underline{u}^n}{2} \right\|_{\mathbb{K}}^2 + \Delta t^2 \left( \theta - \frac{1}{4} \right) \left\| \frac{\underline{u}^{n+1} - \underline{u}^n}{\Delta t} \right\|_{\mathbb{K}}^2$$

Preuve : au (vrai) tableau !

# III.b) Propriétés des schémas

## 3.3 Corollaire

On peut alors déduire que :

- ① Si  $\theta \geq \frac{1}{4}$ , alors l'énergie est positive et le schéma est stable.
- ② Sinon, l'énergie est positive et le schéma est stable sous condition CFL (Courant - Friedrich - Lewy)

Remarque au (era) édible au CFL revient à dire que la vitesse de propagation « numérique » doit être plus grande que la vitesse de propagation du problème continu. En pratique, elle contraint le pas  $\Delta t$  par rapport au « pas d'espace ».

# III.b) Propriétés des schémas

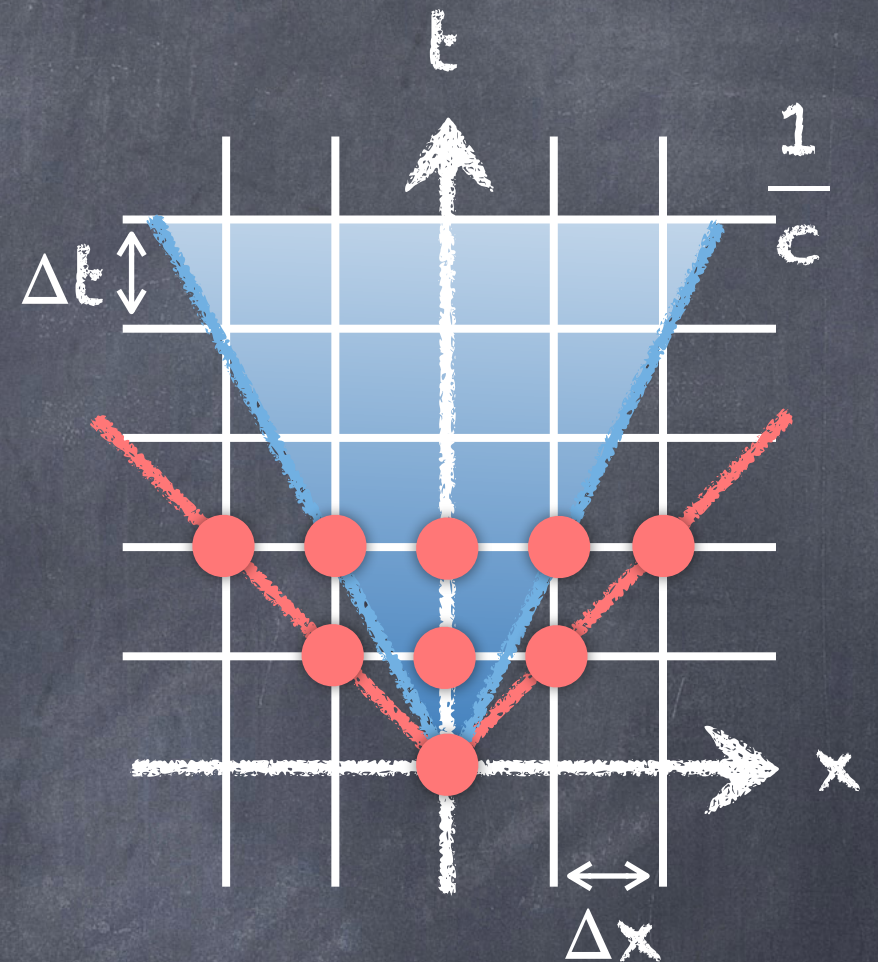
## Exemple

Considérons l'équation des ondes 1D

$$\partial_{tt}^2 u - c^2 \partial_{xx}^2 u = 0$$

et le schéma différences finis :

$$\frac{u_i^{n+1} - 2u_i^n + u_i^{n-1}}{\Delta t^2} + c^2 \frac{u_{i+1}^n - 2u_i^n + u_{i-1}^n}{\Delta x^2} = 0$$



Dans ce cas, la vitesse de propagation est  $c$ , et la vitesse numérique  $v_{num}$  doit vérifier la condition CFL :

$$\frac{1}{v_{num}} = \frac{\Delta t}{\Delta x} \leq \frac{1}{c} \Leftrightarrow c \Delta t \leq \Delta x$$

# III.b) Propriétés des schémas

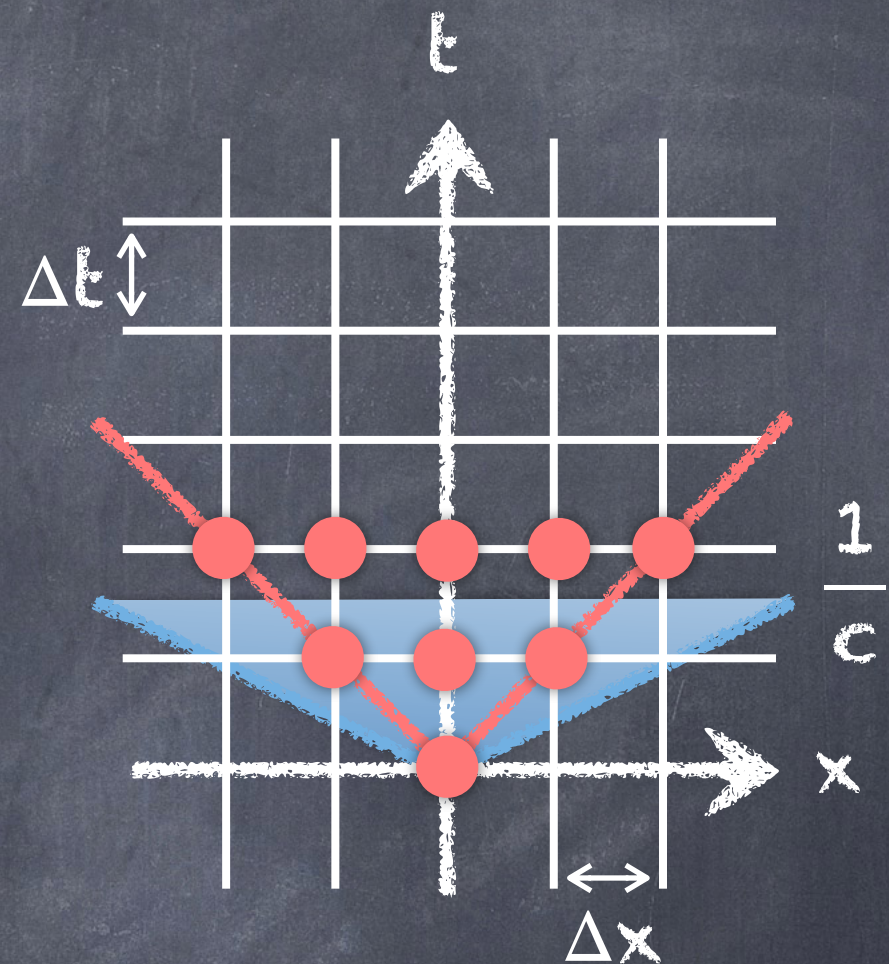
## Exemple

Considérons l'équation des ondes 1D

$$\partial_{tt}^2 u - c^2 \partial_{xx}^2 u = 0$$

et le schéma différences finis :

$$\frac{u_i^{n+1} - 2u_i^n + u_i^{n-1}}{\Delta t^2} + c^2 \frac{u_{i+1}^n - 2u_i^n + u_{i-1}^n}{\Delta x^2} = 0$$



Dans ce cas, la vitesse de propagation est  $c$ , et la vitesse numérique  $v_{num}$  doit vérifier la condition CFL :

$$\frac{1}{v_{num}} = \frac{\Delta t}{\Delta x} \leq \frac{1}{c} \Leftrightarrow c\Delta t \leq \Delta x$$

Sinon, le schéma ne peut pas converger.

## III.b) Propriétés des schémas

### 3.4 Théorème (admis)

Si la solution est suffisamment régulière, alors le schéma discret est convergent et on a :

$$\sqrt{E_{\theta}^{n+1/2}} \leq \sqrt{E_{\theta}^{1/2}} + \left( O(\Delta t^2) + O(h^p) \right) t^n$$

où  $h$  représente la taille caractéristique du maillage et l'énergie  $E_{\theta}^{n+1/2}$  l'énergie associée à l'erreur.

Idée de la preuve : En posant  $e^n = u^n - u(t^n, \cdot)$ , on déduit :

$$m \left( \frac{e^{n+1} - 2e^n + e^{n-1}}{\Delta t^2}, v_h \right) + k \left( e_{\theta}^n, v_h \right) = (\varepsilon^n, v_h), \quad \forall v_h \in V_h$$

$$\text{où } \varepsilon^n = \partial_{tt}^2 u(t^n, \cdot) - \left( u(t^{n+1}, \cdot) - 2u(t^n, \cdot) + u(t^{n-1}, \cdot) \right) / \Delta t^2$$

## III.b) Propriétés des schémas

Idée de la preuve (suite) :

Si la solution est suffisamment régulière, on peut alors montrer que  $\varepsilon^n = O(\Delta t^2)$ .

Pour obtenir une estimation sur l'erreur dans

$$m \left( \frac{e^{n+1} - 2e^n + e^{n-1}}{\Delta t^2}, v_h \right) + k \left( e_{\theta}^n, v_h \right) = (\varepsilon^n, v_h), \quad \forall v_h \in V_h$$

on aimerait procéder comme précédemment pour l'énergie en prenant  $v_h = (e^{n+1} - e^{n-1}) / (2\Delta t)$ .

Seulement c'est impossible car  $e^n \notin V_h$ . L'idée est alors décomposer l'erreur en deux parties :

$$e^n = u^n - \mathcal{P}_h u(t^n, \cdot) + \mathcal{P}_h u(t^n, \cdot) - u(t^n, \cdot)$$

où  $\mathcal{P}_h$  est un opérateur de projection de  $V$  sur  $V_h$ .

## III.b) Propriétés des schémas

Idée de la preuve (suite 2) :

$$\text{En posant } e^n = \underbrace{u^n - \mathcal{P}_h u(t^n, \cdot)}_{=\delta^n} + \underbrace{\mathcal{P}_h u(t^n, \cdot) - u(t^n, \cdot)}_{=\tau^n}$$

on déduit en prenant  $v_h = (\delta^{n+1} - \delta^{n-1})/\Delta t$  (+proj. ortho.) :

$$E_\theta^{n+1/2}(\delta) - E_\theta^{n-1/2}(\delta) = \left( \varepsilon^n, \frac{\delta^{n+1} - \delta^{n-1}}{2\Delta t} \right) + \left( \frac{\tau^{n+1} - 2\tau^n + \tau^{n-1}}{\Delta t^2}, \frac{\delta^{n+1} - \delta^{n-1}}{\Delta t} \right)$$

On peut alors obtenir l'inégalité suivante (C.S. + Young) :

$$E_\theta^{n+1/2}(\delta) - E_\theta^{n-1/2}(\delta) \leq \Delta t (\mathcal{O}(\Delta t^2) + \mathcal{O}(h^p)) \left( \sqrt{E_\theta^{n+1/2}(\delta)} + \sqrt{E_\theta^{n-1/2}(\delta)} \right)$$

$$\text{d'où on obtient : } \sqrt{E_\theta^{n+1/2}(\delta)} \leq \sqrt{E_\theta^{n-1/2}(\delta)} + \Delta t (\mathcal{O}(\Delta t^2) + \mathcal{O}(h^p))$$

ce qui conduit au résultat annoncé.

# Plan détaillé du cours 1

---

## Plan :

### I. Introduction

### II. Aspects théoriques

- a) Le Théorème de Hille-Yosida
- b) Propriétés de la solution

### III. Méthodes de discrétisation

- a) Les  $\theta$ -schémas
- b) Propriétés des schémas

## Pour aller un peu plus loin...

Le théorème de Hille-Yosida s'applique également pour des équations comme l'équation de la chaleur ou de réaction diffusion.

Pour certaines équations non linéaire, il existe également des extensions (Thm. de Crandall-Liggett).

Sur l'aspect numérique, on peut également étudier les schémas à l'aide de relation de dispersion numérique dans le cas de maillages réguliers et de milieux homogènes. Cela revient à se demander si le schéma satisfait bien la relation de dispersion continue.